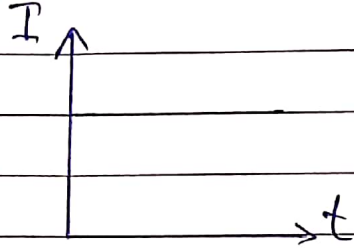


① اسداد الكرنك

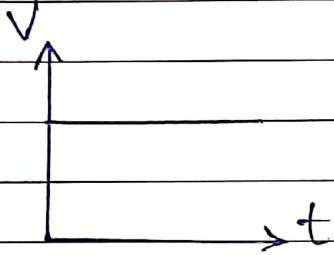
مفاتيح القنبار

أولاً: الكرنك

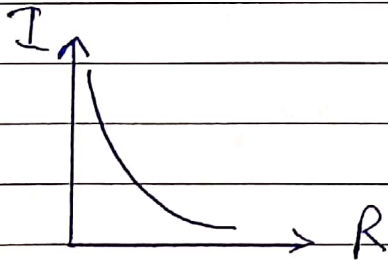
① العلاقة بين سرعة التيار في موصل وزمن مرور التيار عند ثبوت معدل مرور الشحنات الكرنكية



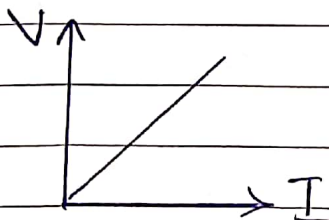
② العلاقة بين فرق الجهد (V) بين طرفي موصل يسري به تيار وزمن مرور التيار (t)



③ العلاقة بين سرعة التيار المار في موصل ومقاومة الموصل عند ثبوت فرق الجهد بين طرفيه

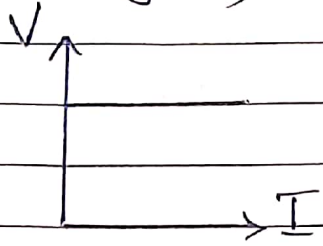


④ العلاقة بين سرعة التيار المار في موصل وفرق الجهد بين طرفيه عند ثبوت مقاومة الموصل

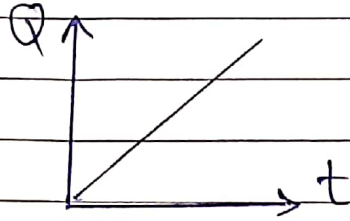


⑤ العلاقة بين سرعة التيار المار في موصل وفرق الجهد بين طرفيه عند تغيير مقاومة الموصل

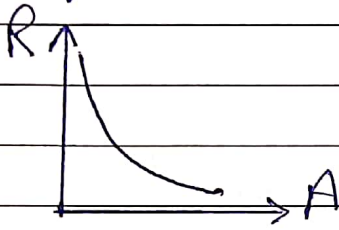
(2) مقدار المقاومة



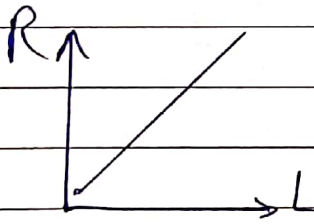
(٦) العلاقة بين كمية الشحنة الكهربائية (Q) المارة عبر مقطع موصل والزمن (t) عند ثبوت شدة التيار



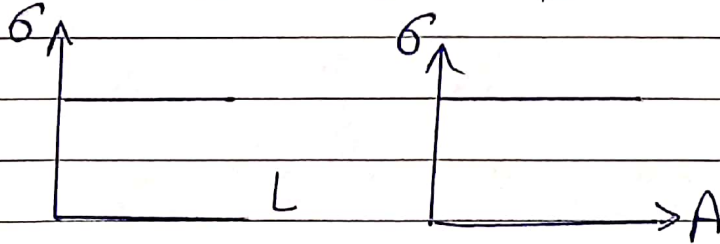
(٧) العلاقة البيانية التي تمثل العلاقة بين المقاومة (R) لعدة توصيلات متتالية من نوع المادة عند ثبوت أطوالها ومساحة مقطع تلك التوصيلات (A)



(٨) العلاقة البيانية المثلى للعلاقة بين المقاومة (R) لعدة توصيلات متتالية من نوع المادة عند ثبوت مساحة مقطعها وأطوال التوصيلات (L)

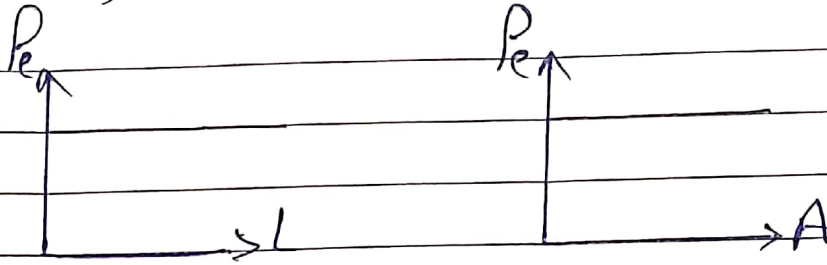


(٩) الخط البياني المثلى للعلاقة بين التوصيلية الكهربائية (σ) لمقطع ثقب الطول

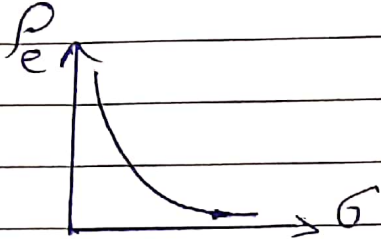


(١٠) الخط البياني المثلى للعلاقة بين المقاومة النوعية (ρ) لمقطع ثقب الطول

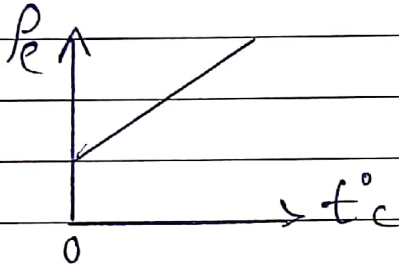
(3) دائرة التردد المنخفض



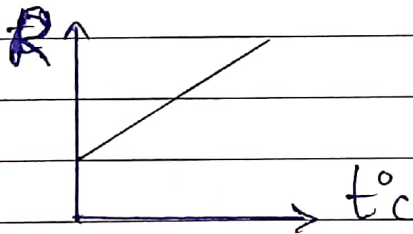
(11) الخط البياني المبرمج العلاقة بين المقاومة النوعية P_e و التوصيلية الكهربية σ



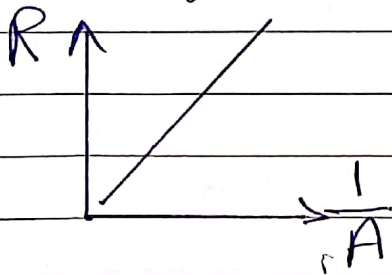
(12) الخط البياني المبرمج العلاقة بين المقاومة النوعية P_e ودرجة حرارة الموصل t_c°



(13) الخط البياني المبرمج العلاقة بين مقاومة موصل R ودرجة حرارته t_c°

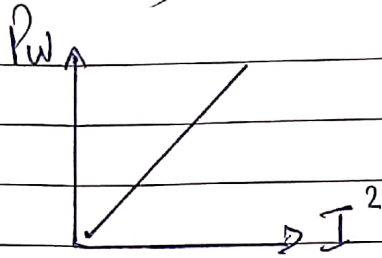


(14) الخط البياني المبرمج العلاقة بين مقاومة عدة بوابات سرقة النوع وفصلها مساحات تقاطعها عند ثبوت الطول

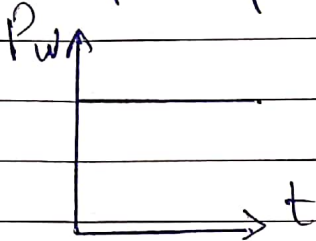


(15) الخط البياني المبرمج العلاقة بين القدرة الكهربائية المستفدة في موصل (P_w) ومربع سعة التيار I^2

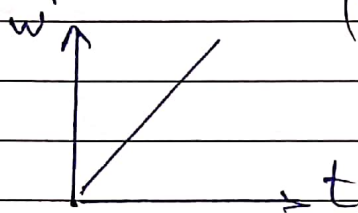
(٤) استدار التيار الكهربائي



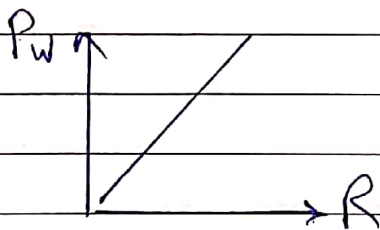
(١٦) الخط البياني المبرسم العلاقة بين القدرة المستندة في موصل بتيار متناوب والزمن



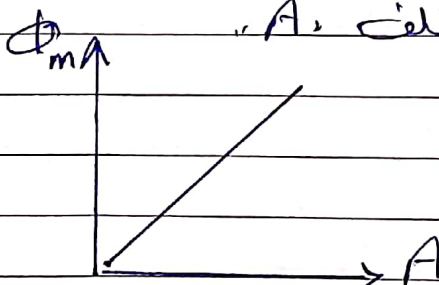
(١٧) الخط البياني المبرسم العلاقة بين الطاقة (W) المستندة في موصل بتيار متناوب والزمن (t)



(١٨) الخط البياني المبرسم العلاقة بين القدرة الكهربائية المستندة في موصل (مقاومة) وقيمة المقاومة

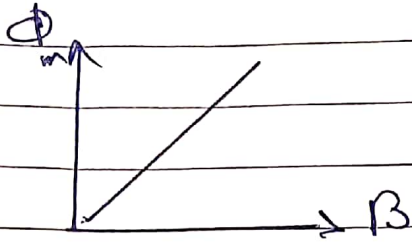


(١٩) الخط البياني المبرسم العلاقة بين الفيض الكلي المؤثر على ملف (Φ_m) ومساحة وجه الملف A

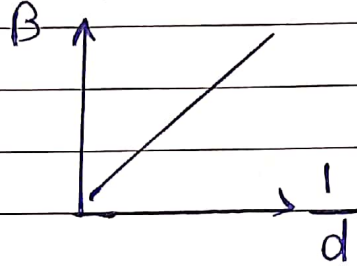
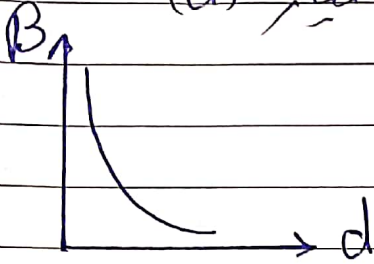


(٢٠) الخط البياني المبرسم العلاقة بين الفيض الكلي المؤثر على ملف (Φ_m) وكثافة المجال المغناطيسي المؤثر به الملف (B)

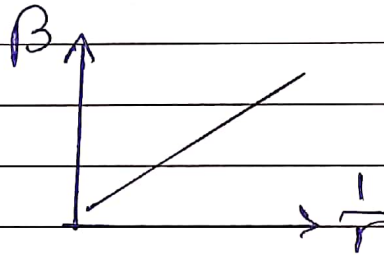
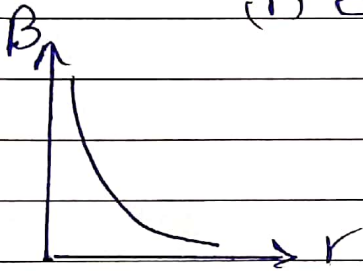
(5) تردد الحثي



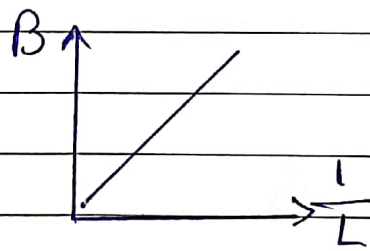
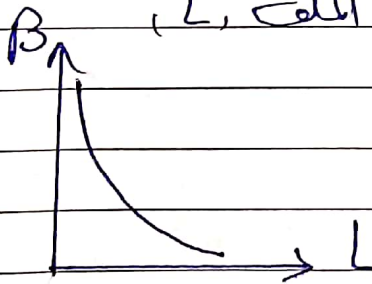
(٢١) الخط البياني المثلث للعلاقة بين كثافة المجال المغناطيسي B عند نقطة وبعد النقطة من موصل يمر به تيار (d)



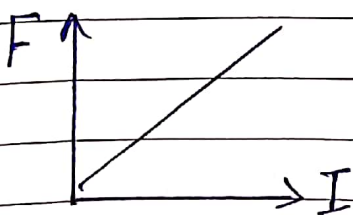
(٢٢) الخط البياني المعرسم للعلاقة بين كثافة المجال المغناطيسي B عند مركز الملف الدائري ونصف قطر الملف (r)



(٢٣) الخط البياني المعرسم للعلاقة بين كثافة المجال المغناطيسي B عند نقطة على موصل ملف لولبي وقطر الملف (L)

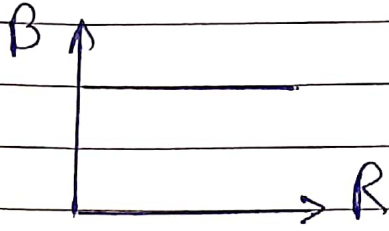


(٢٤) الخط البياني المعرسم للعلاقة بين القوة F المؤثرة على سلك متين موضوع عمودياً على مجال مغناطيسي منتظم وشدة تيار (I)

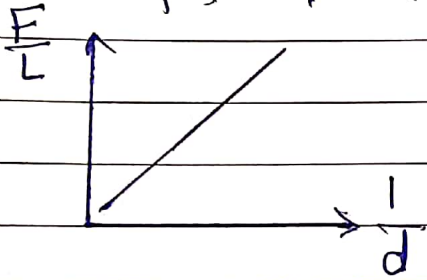


٦) اسرار الكهرسلك

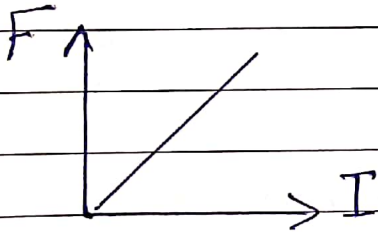
(٥٥) الخط البياني المعبّر عن العلاقة بين كثافة المجال المغناطيسي (B) عند نقطة ثابتة من محور R متصل على القارئ بمقاومة (R) وقيمة تلك المقاومة R



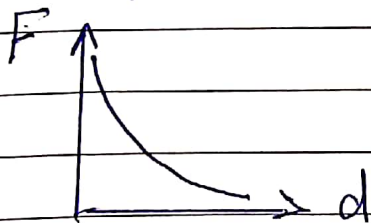
(٥٦) الخط البياني المعبّر عن العلاقة بين القوة المغناطيسية المتبادلة بين سلكين متوازيين لكل وحدة الطول ($\frac{F}{L}$) وبين مسافة البعد العمودي بين السلكين $(\frac{1}{d})$



(٥٧) الخط البياني الممثل للعلاقة بين القوة المتبادلة بين سلكين (F) يمر بهما تيار في نفس الاتجاه وبين شدة التيار في أحدهما (I)

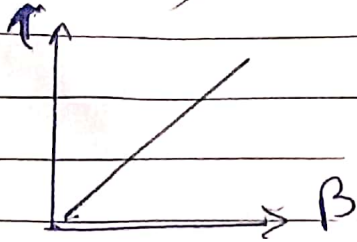


(٥٨) الخط البياني المعبّر عن العلاقة بين القوة المتبادلة بين سلكين يمر بهما تيار في نفس الاتجاه وبين البعد العمودي بينهما d

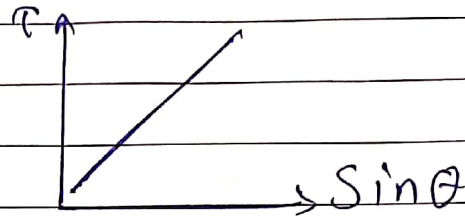
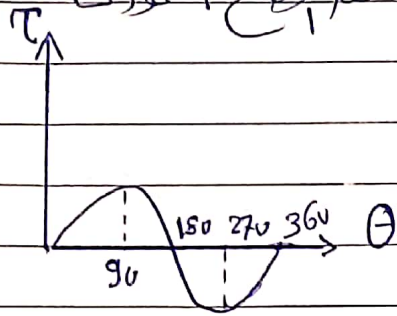


(٥٩) الخط البياني المعبّر عن العلاقة بين عزم الازدواج المؤثر على ملف يمر به تيار وكثافة المجال المغناطيسي الموضوح فيه B معيار التواء الملف

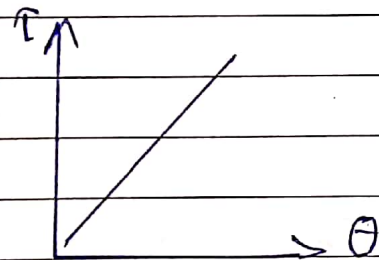
٧) استداد التردد



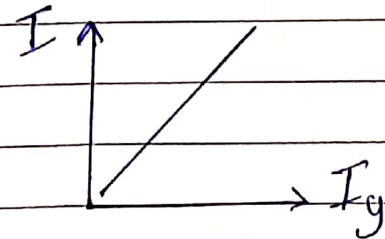
٣٠) الخط البياني المبين للعلاقة بين عزيم الاندفاع المؤثر على ملف حثية يسير في موضع في مجال مغناطيسي متناوب وبزاوية بين الملف والمجال خلال دورة كاملة من إضعاف الحثية



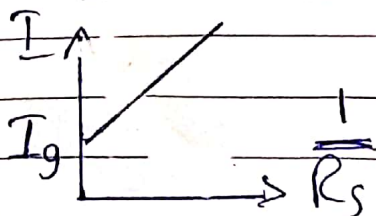
٣١) الخط البياني المبين العلاقة بين قيمة عزيم الاندفاع المؤثر على ملف التلقائوي الثابت مع مرور سيارته وبزاوية التي يغير عندها الملف



٣٢) الخط البياني المبين للعلاقة بين سيار الأستر بعد توصيل جزئ السيار (I) وبين سيار التلقائوي قبل توصيل الجزئ (I_g)

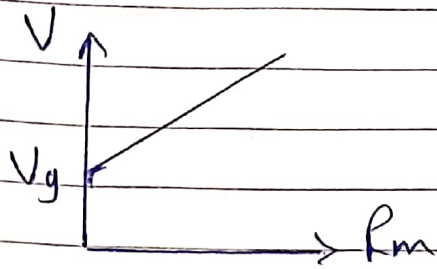


٣٣) الخط البياني المبين للعلاقة بين أقصى سيار يقدره الأستر (I) وقيمة جزئ السيار المتصل به (R_s)

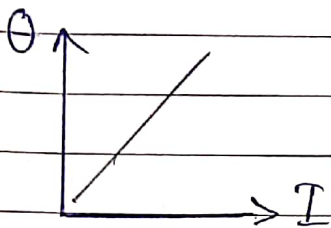


(8) اسرار الكهرمغناطيسي

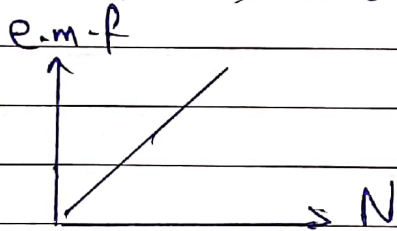
(٣٤) الخط البياني الممثل للعلاقة بين أقصى جهد يقدّمه التوليد وقيمه مضاعف الجهد المتولد به R_m



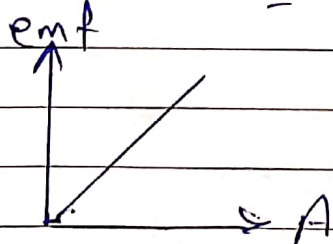
(٣٥) الخط البياني الممثل للعلاقة بين زاوية انحراف مؤشر الجلفانومتر θ وسرعة تحريك ملف الجلفانومتر



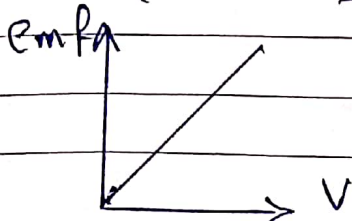
(٣٦) الخط البياني الممثل للعلاقة بين e.m.f المستثة المتولدة في ملف موصول في مجال مغناطيسي وعبر لفات الملف N



(٣٧) الخط البياني الممثل للعلاقة بين e.m.f المستثة المتولدة في ملف موصول عمودياً على مجال مغناطيسي تتغير شدته بانتظام مع الزمن وسأته وجه الملف (A)

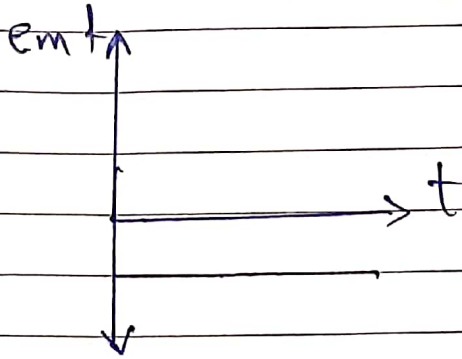


(٣٨) الخط البياني الممثل للعلاقة بين e.m.f المستثة المتولدة في ملف متحرك يتحرك في مجال مغناطيسي منتظم عمودياً عليه وسرعة حركته (v)

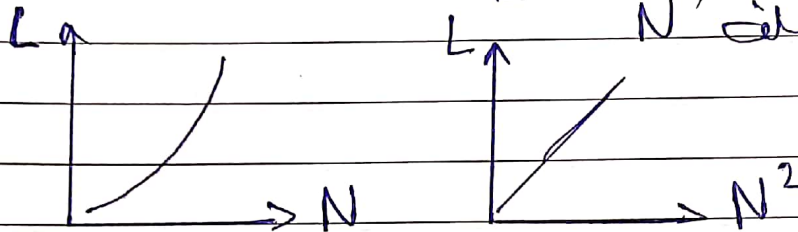


(٩) استرداد المعلومات

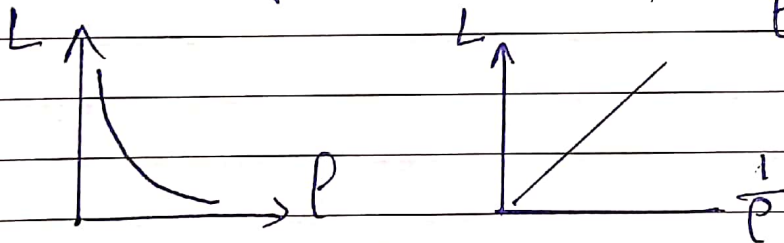
(٣٩) الخط البياني المبرمج العلاقة بين $e_m f$ وسعة المولد في ملف عندما تتغير سرعة التناير بانتظام مع الزمن في ملف مجاور له مع الزمن (٤)



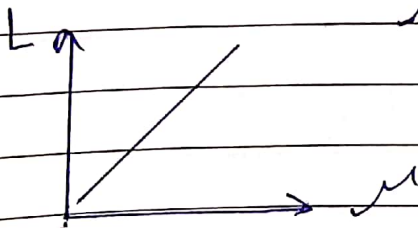
(٤٠) الخط البياني المبرمج العلاقة بين معامل الحث الذاتي لملف L وعدد لفات الملف N



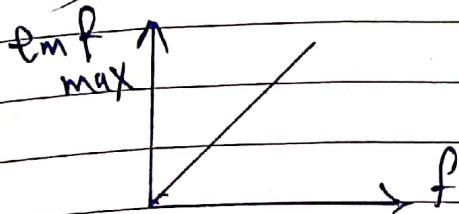
(٤١) الخط البياني المبرمج العلاقة بين معامل حث ذاتي ملف L وطول الملف l



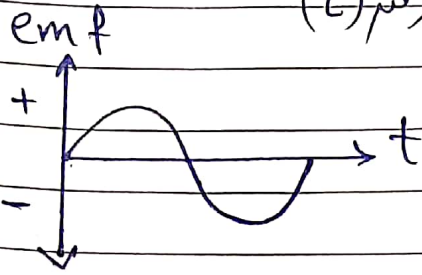
(٤٢) الخط البياني المبرمج العلاقة بين معامل الحث الذاتي لملف L ومعامل المقاومة المتناحية للوسط μ



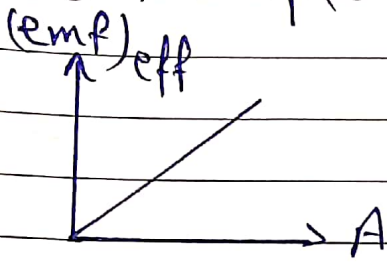
(٤٣) الخط البياني المبرمج العلاقة بين $(e_m f)_{max}$ في ملف الدينامو وسرعة الملف (f)



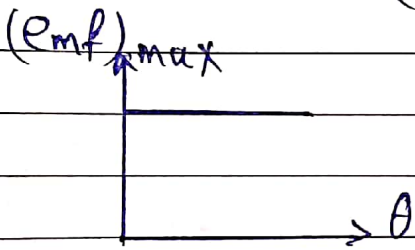
(٤٤) الخط البياني المعبّر عن العلاقة بين (emf) المستثة المتولدة في ملف (اللفّة) خلال دورة كاملة للتيّ والزاوية (θ)



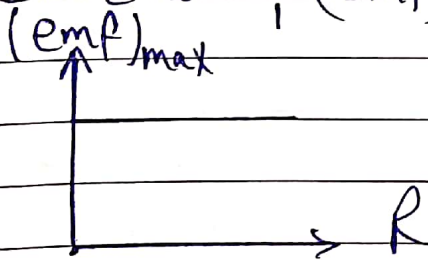
(٤٥) الخط البياني المعبّر عن العلاقة بين $(emf)_{eff}$ المستثة المتولدة في ملف الدينامو وساحة الملف (A)



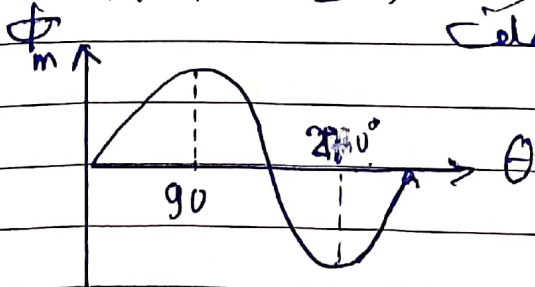
(٤٦) الخط البياني الممثل للعلاقة بين $(emf)_{max}$ المستثة في ملف الدينامو وزاوية دوران الملف (θ)



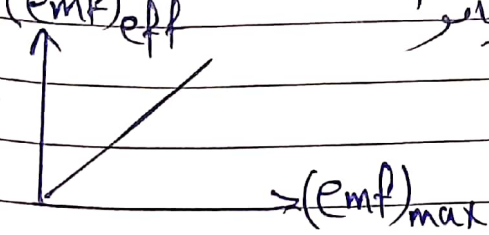
(٤٧) الخط البياني الممثل للعلاقة بين $(emf)_{max}$ المستثة في ملف الدينامو ومقاومة الملف (R)



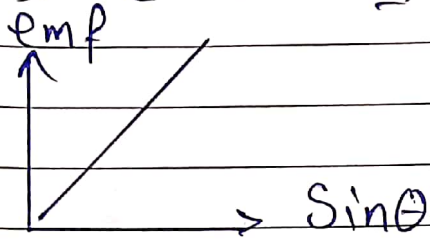
(٤٨) الخط البياني الموضح للعلاقة بين القطب المغناطيسي (Φ_m) الذي يقطع ملف الدينامو والزاوية θ بين أقطاب دوار الملف خلال دورة كاملة للملف



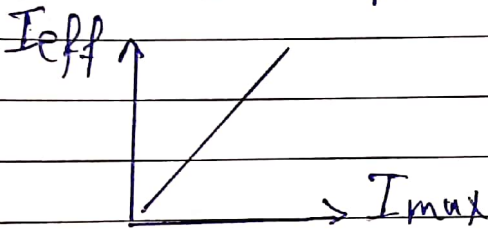
(٥٩) الخط البياني المبرسم العلاقة بين $(emf)_{eff}$ في ملف الدينامو
المؤلفة في ملف الدينامو $(\bar{emf})_{max}$



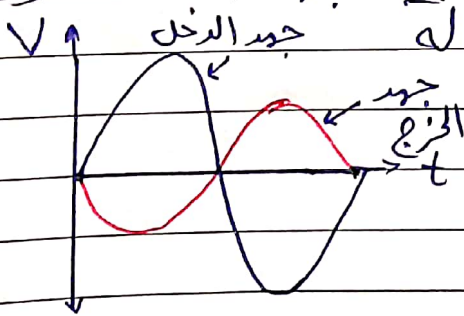
(٥٠) الخط البياني المبرسم العلاقة بين emf لحظة اللوحة
في ملف الدينامو ونمت الزاوية بين العمود على سواه ملف
واستجابه المجال $(\sin \theta)$



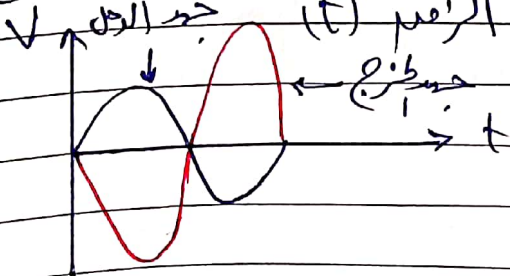
(٥١) الخط البياني المبرسم للعلاقة بين I_{eff} و I_{max}
في ملف الدينامو



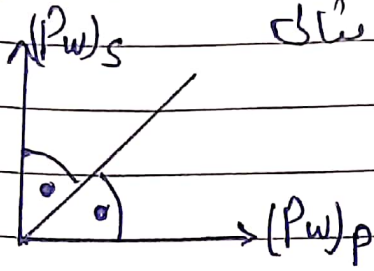
(٥٢) الخط البياني المبرسم العلاقة بين جهد الدخل لمحول
خافضة الجهد وبين جهد الخرج له مع الزمن (t)



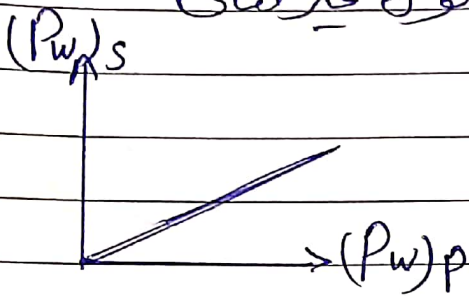
(٥٣) الخط البياني المبرسم العلاقة بين جهد الدخل لمحول رافع
الجهد وبين جهد الخرج له مع الزمن (t)



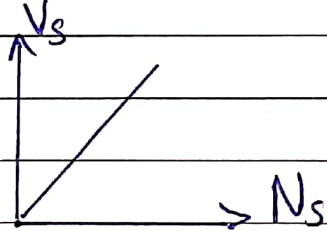
(٥٤) الخط البياني المبرسم العلاقة بين قدرة الملف الابتدائي $(P_w)_p$ و قدرة الملف الثانوي $(P_w)_s$ في تحول مثالي



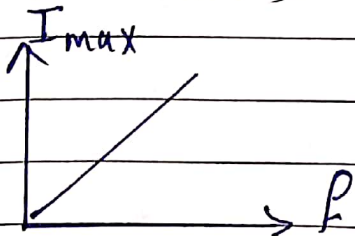
(٥٥) الخط البياني المبرسم العلاقة بين قدرة الملف الابتدائي $(P_w)_p$ و قدرة الملف الثانوي $(P_w)_s$ في تحول غير مثالي



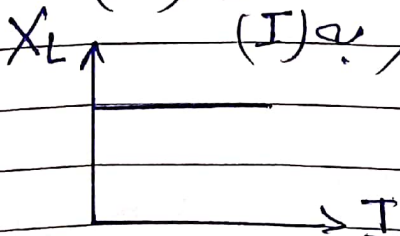
(٥٦) الخط البياني المبرسم العلاقة بين قوة الجهد V_s في الملف الثانوي (V_s) ولعدد لفات ملفه (N_s) في تحول مثالي



(٥٧) الخط البياني الممثل للعلاقة بين (I_{max}) للسير المبردد في مقاومة آومية متصلة بدنياً مع حمل المقاومة وبين تردد دوران الملف (f)

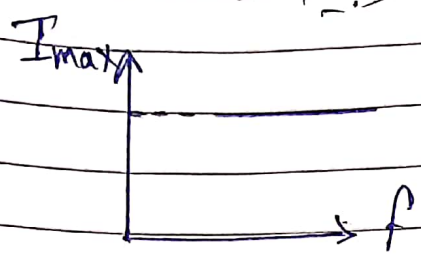


(٥٨) الخط البياني الممثل للعلاقة بين المفاعلة الخشبية (X_L) ملف حث عميق المقاومة وشدة التيار المار به (I)

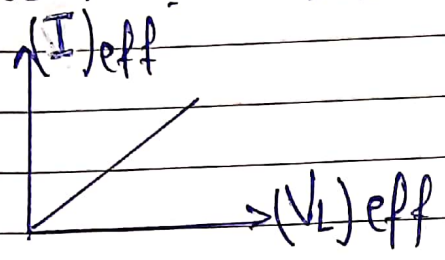


(13) تردد التيار المتردد

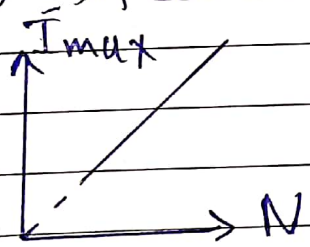
(٥٩) الخط البياني المبرر عن العلاقة بين I_{max} (التردد المار في ملف حيث عديم المقاومة الأومية) وبين تردد ملف الدينامو (محول المقاومة الداخلية) "P"



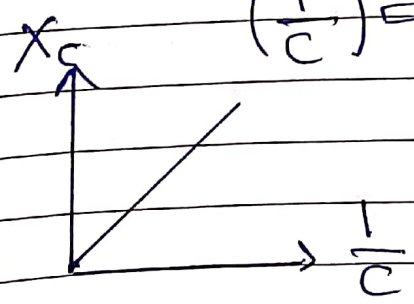
(٦٠) الخط البياني المبرر عن العلاقة بين I_{eff} للتيار متردد يمر في ملف حيث عديم المقاومة الأومية عند ثبات التردد وبين V_{eff} في طرف الملف



(٦١) الخط البياني المبرر عن العلاقة بين I_{max} للتيار متردد يمر في ملف حيث عديم المقاومة الأومية والناتج من دينامو حول المقاومة الداخلية وبين عدد لفات ملف الدينامو N

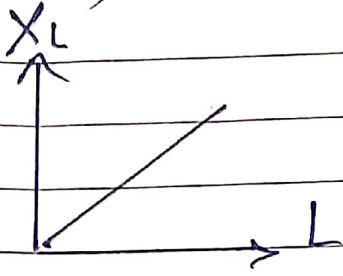


(٦٢) الخط البياني المبرر عن العلاقة بين المقاومة السعوية X_C (كثافة X_C) ومقلوب سعة المكثف $(\frac{1}{C})$

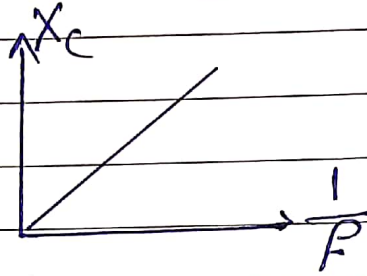
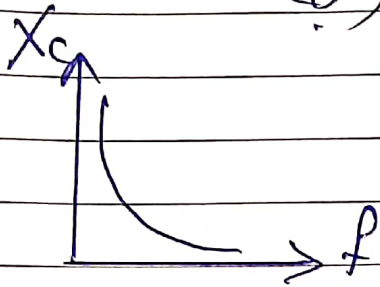


(٦٣) الخط البياني المبرر عن العلاقة بين المقاومة الحثية للملف حيث (X_L) عديم المقاومة الأومية وبين الحث الذاتي للملف عند ثبات تردد التيار المتردد

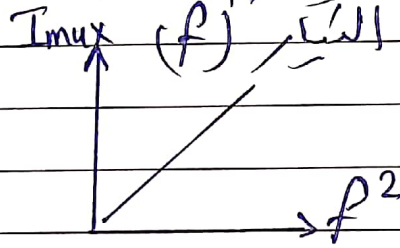
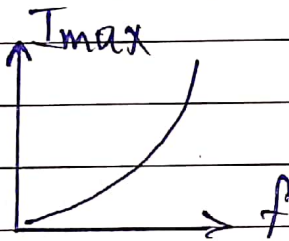
(14) إصدار الجهد



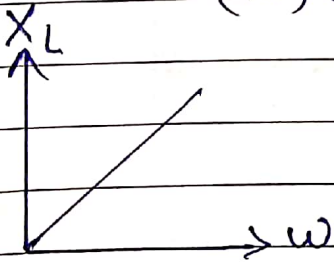
(٦٤) الخط البياني الممثل للعلاقة بين المفاعلة السعوية X_C ثابت السعة وبين تردد التيار المتردد



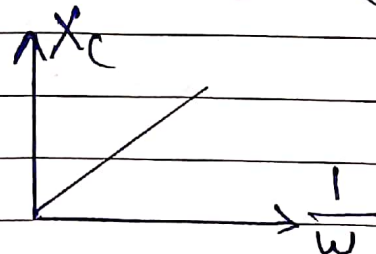
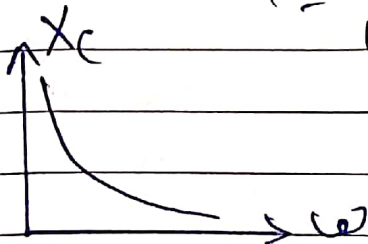
(٦٥) الخط البياني المبرهن للعلاقة بين I_{max} لتيار متردد ثابت غير وسامو وبين المقاومة الداخلية وبين عاكس وسيم تردد التيار (f) I_{max}



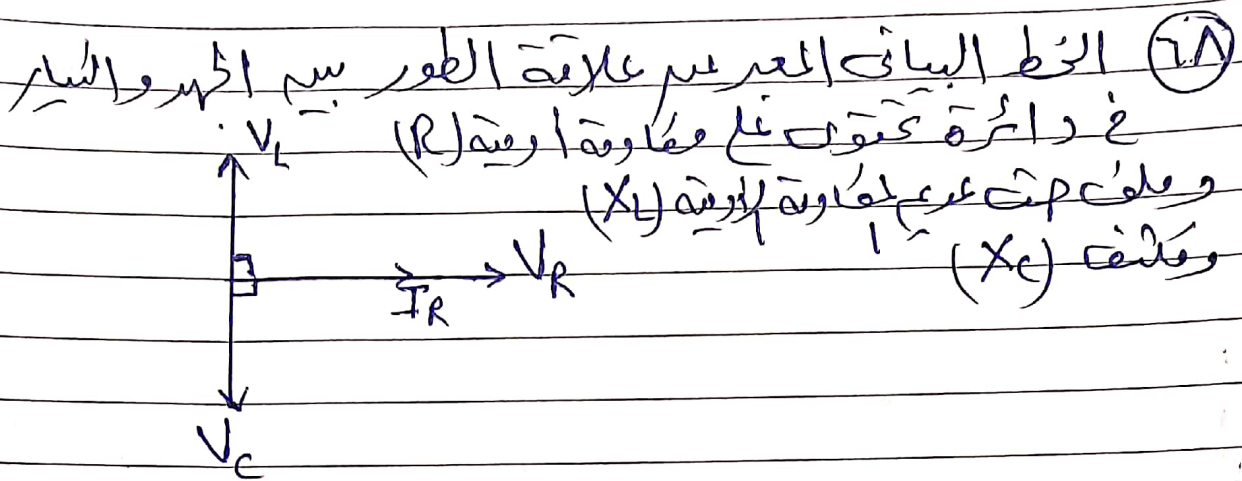
(٦٦) الخط البياني المبرهن للعلاقة بين المفاعلة الحثية X_L وبين المقاومة الأومية والسرعة الزاوية (ω)



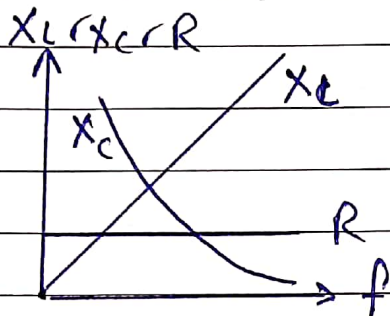
(٦٧) الخط البياني المبرهن للعلاقة بين المفاعلة السعوية X_C والسرعة الزاوية (ω)



(15) اسرود الرررررر

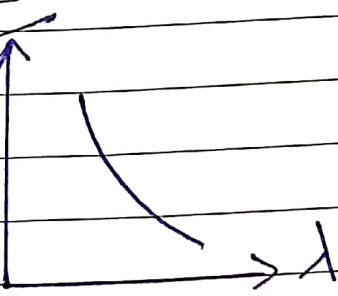


(19) الخط البئائ المرررررر عر قعم R, X_L, X_C وعلاقتا بئر
 الئر (P)

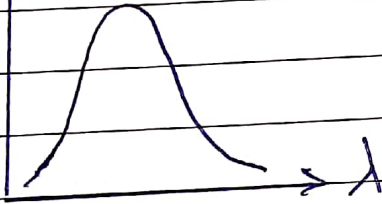


١) أسرار الفيزياء الحديثة

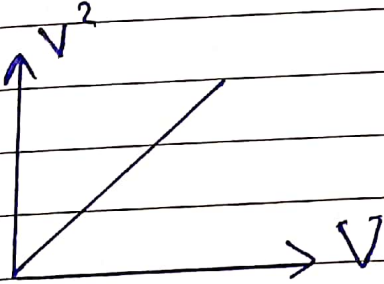
١) الخط البياني المميز للعلاقة بين شدة الإشعاع المنبعث من مصدر ما عند ماخذ وسيط الطول الموجي للإشعاع المنبعث (التي يتوقع الكلاسيكي



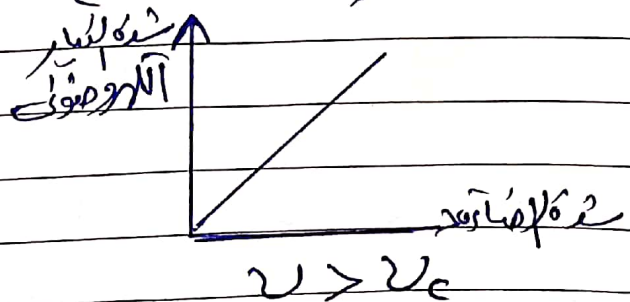
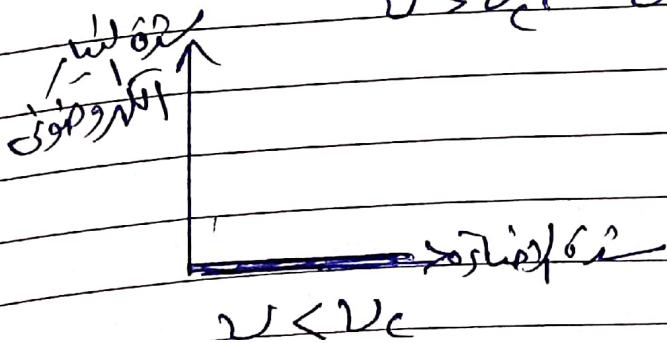
٢) الخط البياني المميز للعلاقة بين شدة الإشعاع المنبعث من مصدر ما عند ماخذ وسيط الطول الموجي للإشعاع المنبعث (التي يتوقع الفيزياء الحديثة



٣) الخط البياني المميز للعلاقة بين مربع أقصى سرعة للإلكترونات المنبعثة من موصل متوهج أشعة الكاثود (V^2) وطول موجي V بين المصدر والمهبط V

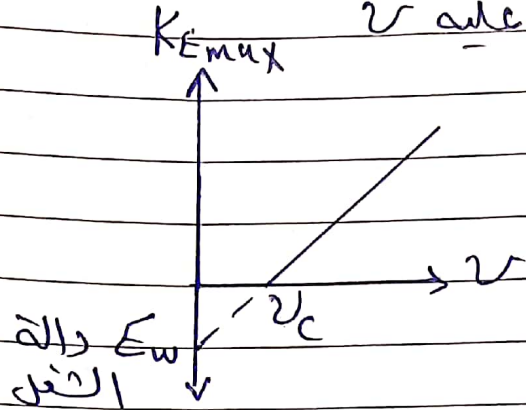


٤) الخط البياني المميز للعلاقة بين شدة التيار الكهروضوئي وشدة الإضاءة عند $V < V_c$ وعند $V > V_c$

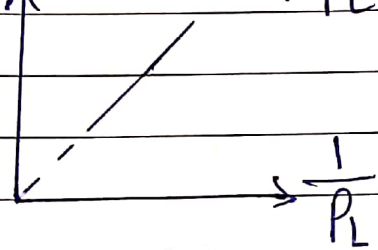


② اسرار الحركية

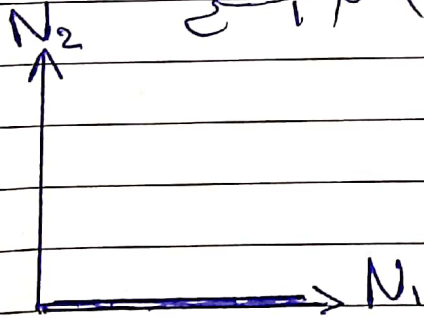
⑤ الخط البياني المرسوم العلاقة بين $K_{E_{max}}$ للإلكترونات المنبعثة
سرعة أعلى الفلز ونزود الفوتون الساقط عليه ν



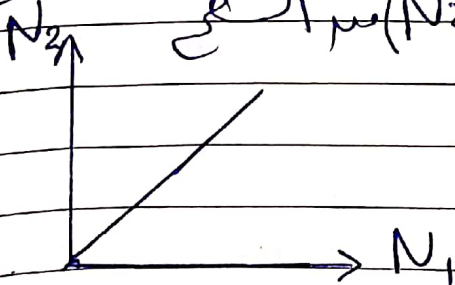
⑥ الخط البياني المرسوم العلاقة بين الطول الموجي λ قيم
منحرفه وقطعت ثمة تحركه $\left(\frac{1}{P_L}\right)$



⑦ الخط البياني المرسوم للعلاقة بين عدد الفوتونات (N_1) للفوتون
الساقط على سطح فلز بتردد أقل من التردد الخارج للسطح
وسم عدد الإلكترونات المنبعثة (N_2) من السطح

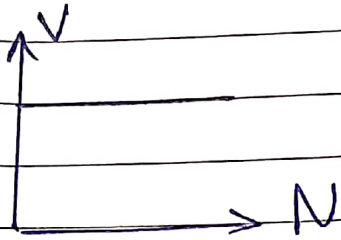


⑧ الخط البياني المرسوم للعلاقة بين عدد الفوتونات (N_1) للفوتون
الساقط على سطح فلز بتردد أكبر من التردد الخارج للسطح
وسم عدد الإلكترونات المنبعثة (N_2) من السطح

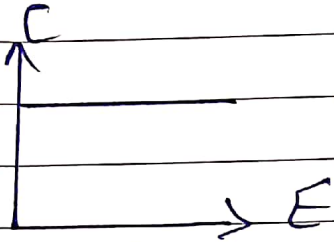


٣) اسد ار الهمر لسطي

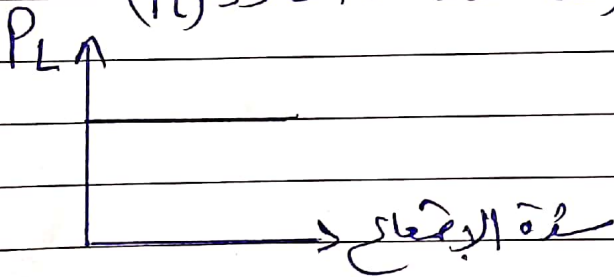
٩) الخط البياني المبيد للعلاقة بين سرعة الالكترونات المنبعثة (V) من سطح فلز وعدد فوتونات الضوء الساقطة (N) وتردده. التفسير المتردد اخرج للسطح



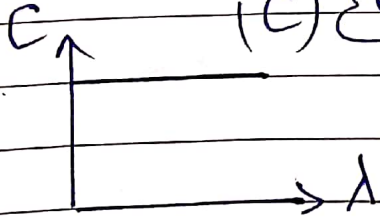
١٠) الخط البياني المبيد للعلاقة بين سرعة الفوتونوم (C) وطاقته (E)



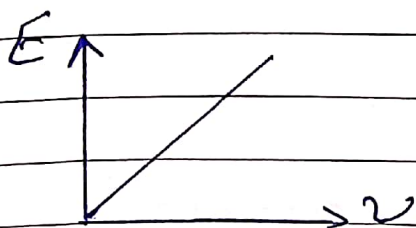
١١) الخط البياني المبيد للعلاقة بين شدة اشعاع ضوء اماري الطول الموجي وكثية مرتبة فوتونات الضوء (P_L)



١٢) الخط البياني المبيد للعلاقة بين الطول الموجي للإشعاع (λ) وسرعة الإشعاع (C) والسرعة مضطربة

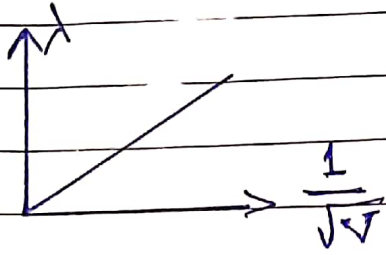


١٣) الخط البياني المبيد للعلاقة بين طاقة الفوتونوم (E) وتردده (ν)

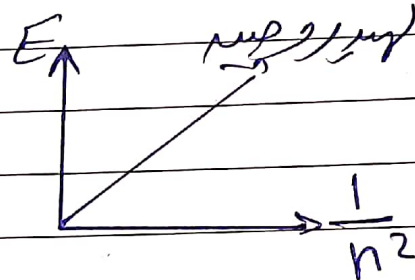
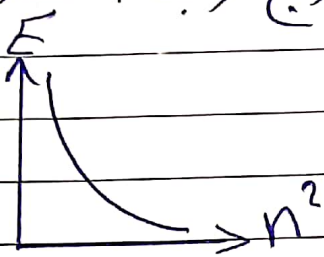


④ أسرار الحركية

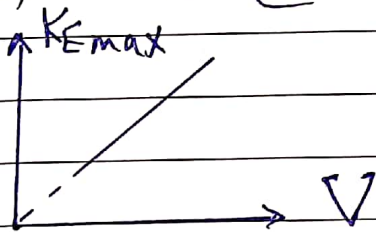
١٤) الخط البياني المبين للعلاقة بين الطول الموجي (λ) المصاحب لفرق الجهد V تم تحصيله وبين الجذر التربيعي لفرق الجهد $(\frac{1}{\sqrt{V}})$



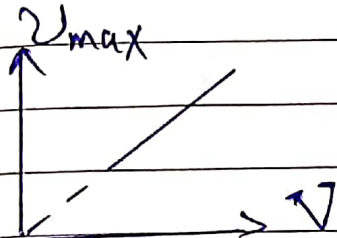
١٥) الخط البياني المبين للعلاقة بين قيمة طاقة الإلكترون (K) في المستويات الطاقة ومربع رتبة المستوى (n^2) للذرة الهيدروجينية



١٦) الخط البياني المبين للعلاقة بين (K_{max}) للإلكترون المنبعث من كاثود أنبوبة كولنج وبين فرق الجهد بين الأنود والكاثود (V)

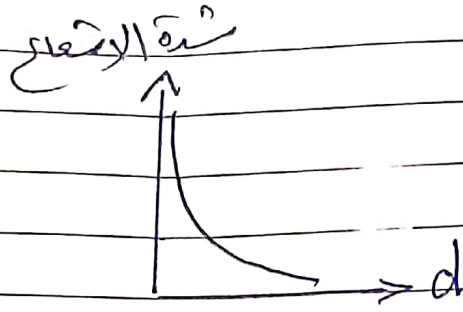


١٧) الخط البياني المبين للعلاقة بين V_{max} لفوتونات الطيف المستمر لأشعة X وفرق الجهد (V) بين الأنود والكاثود

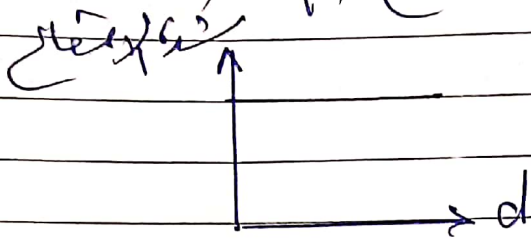


١٨) الخط البياني المبين للعلاقة بين شدة إشعاع مصدر ضوئي عادي والمسافة (d) التي يبعدها الإشعاع عن المصدر

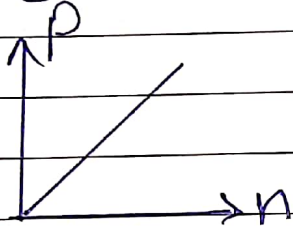
(5) انحدار الجهد الكهربي



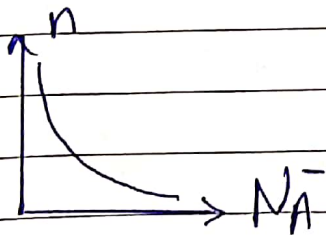
(١٥) الخط البياني المرسوم للعلاقة بين شدة الإشعاع I ومصدر لنير والمسافة (d) التي يبعدها الإشعاع عن المصدر



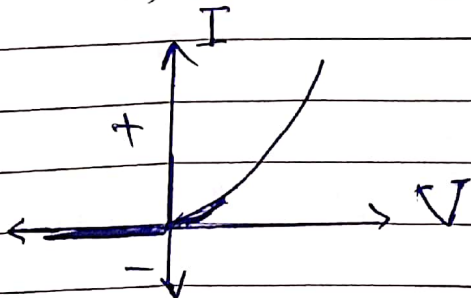
(٢٠) الخط البياني الممثل للعلاقة بين تركيز الفجوات (n) وتركيز الفجوات (p) في بلورة شبه موصل ثنائي عند رفع درجة حرارته



(٢١) الخط البياني المرسوم للعلاقة بين تركيز الإلكترونات (n) وتركيز ذرات الألويمينوم (NA^-) في بلورة شبه موصل من النوع $(p-type)$

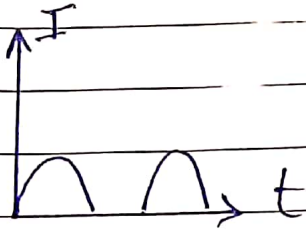


(٢٢) الخط البياني المرسوم للعلاقة بين شدة التيار (I) في وصلة ثنائية وطرفه الجهد بين طرفيها

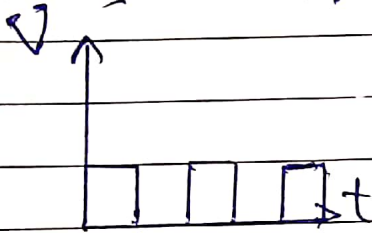


⑤ مصدر التردد

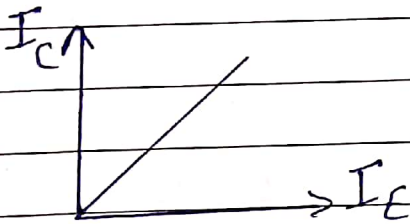
④ الخط البياني المبرسم العلاقة بين شدة التيار المار في دائرة
وصلة ثنائية متصلة بمصدر تيار متردد ويسمى الرسم (t)



⑤ الخط البياني المبرسم العلاقة بين الجهد (V) لتيار كهربائي
يجوز التيارات تقيس والرسم (t)



⑥ الخط البياني المبرسم العلاقة بين (I_c) ، (I_E) لترانزستور



⑦ الخط البياني المبرسم العلاقة بين العدد الذري لمادة الهدف
(Z) في أشعة كوليغ والعدد الموجي المنبعث λ

